

05;11

Антиэмиссионное интерметаллическое покрытие на основе платины и циркония

© Ю.А. Быстров, Н.З. Ветров, А.А. Лисенков

Санкт-Петербургский государственный электротехнический

университет „ЛЭТИ“

ЗАО „С.Е.Д.-СПб“

Институт проблем машиноведения РАН, Санкт-Петербург

E-mail: Lisran@yandex.ru

Поступило в Редакцию 20 февраля 2009 г.

Предложен способ формирования сложного интерметаллического соединения Pt₃Zr, используемого в качестве антиэмиссионного покрытия на сеточных электродах мощных генераторных ламп, обеспечивающего стабильность состава формируемого покрытия, повышение эксплуатационных свойств и увеличение срока службы выпускаемых приборов.

PACS: 52.77.Dq, 77.84.Lf

Проблема разработки антиэмиссионных покрытий была и остается актуальной в электронном приборостроении. Рассмотрению теории и практики получения такого рода покрытий посвящено значительное число работ [1,2].

Поскольку антиэмиссионные покрытия в большинстве своем работают в условиях высоких температур, то помимо основного требования — низкий коэффициент термоэлектронной эмиссии, они по возможности должны обладать при этом высокой излучательной способностью.

При создании антиэмиссионных покрытий все основные решения сводятся к использованию многослойных покрытий с оконечным использованием платины Pt (элемент VIII группы с конфигурацией внешних электронных оболочек $5d^96s^1$ и переменной валентности; температура плавления 2042 К), имеющей высокую работу выхода ($\varphi = 5.32$ eV). Платина обладает также ценным химическим свойством связывать элементы с высоким коэффициентом термоэлектронной эмиссии, которые могут появляться при работе целого ряда электронных приборов. Применение гладкого электролитического платинового

покрытия не обеспечивает высокой излучательной способности рабочей поверхности, в результате чего повышается ее температура, а следовательно, растет скорость диффузии Pt в материал основы.

В связи с этим практический интерес вызывают вопросы создания интерметаллического соединения на основе платины и циркония и возможности его использования в качестве антиэмиссионного покрытия. В процессе работы были изучены технологические особенности получения соединения Pt₃Zr, исследовались его состав, структура, адгезия и эксплуатационные свойства.

Образование интерметаллического соединения Pt₃Zr протекает при условии наличия стабильного состава карбида циркония ZrC в присутствии платины Pt и при высокой температуре. Протекание данной реакции обусловлено возможностью перехода освобождающегося атомарного углерода С из карбидного соединения ZrC в материал подложки Me_{subst} (Mo, W) с последующим образованием карбидного соединения типа Me_{subst} + 2C $\xrightarrow{t^\circ}$ Me_{subst}C + C.

Поэтому процесс получения Pt₃Zr базируется на трех последовательных технологических операциях: формирования на подложке из тугоплавкого металла (Mo, W) покрытия карбида циркония ZrC; осаждения слоя платины Pt; термического отжига в вакууме.

Как показано в [3], наиболее эффективным методом для получения равномерного покрытия на деталях сложной формы является вакуумно-дуговой разряд, представляющий собой самостоятельный разряд, развивающийся в парах материала катода. Эмиссионным центром разряда в этом случае является катодное пятно, температура в котором превышает температуру кипения материала катода, за счет чего и происходит активное распыление (разрушение) материала. В основе вакуумно-плазменной технологии лежит формирование покрытий за счет осаждения ионов, обладающих высокой кинетической энергией. Изменение величины ускоряющего потенциала U на обрабатываемой подложке позволяет регулировать энергию осаждающихся ионов, а следовательно, и управлять протеканием технологического процесса.

Для осуществления плазмохимического синтеза ZrC в поток металлической плазмы вводится углеродосодержащий газ. Поток металлических ионов материала катода dn_i/dt вычисляется через ток вакуумно-дугового разряда I_{dich} , выбираемый из условий стабильного горения

5* Письма в ЖТФ, 2009, том 35, вып. 13

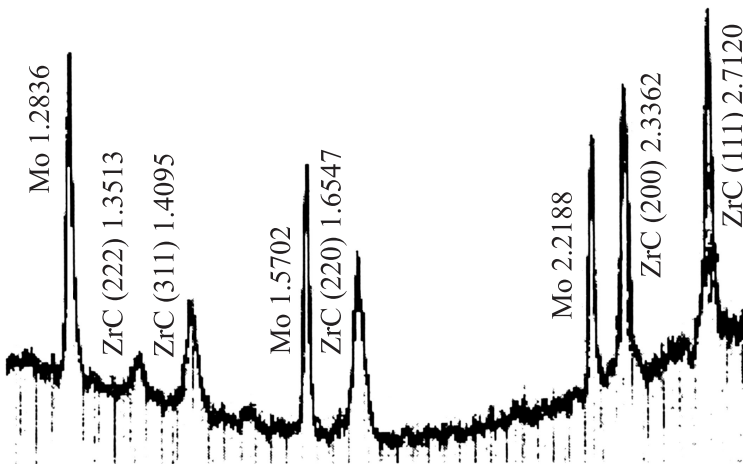


Рис. 1. Дифрактограмма покрытия карбида циркония ZrC на молибденовой подложке.

разряда и рабочей температуры катода. Сбалансированный поток молекул газа dn_{gas}/dt определяется с учетом коэффициента химической реакции A взаимодействия металла с реакционно-способным газом и размеров приемной поверхности dS : $(d^2n_i/dS dt) \approx A(d^2n_{gas}/dS dt)$ [4].

В результате было получено покрытие ZrC постоянного состава с хорошо сформированной кристаллической структурой с преимущественной ориентацией (111) (рис. 1). Расчетное межплоскостное расстояние, при интегральной ширине линии 1.1635 ± 0.071 составило 2.7020 ± 0.0026 Å, в то время как табличное значение по ASTM для $hkl = (111)$ равняется 2.706 Å. Незначительные расхождения свидетельствуют о наличии в формируемой структуре дефектов.

В электролитическом растворе на основе платинохлористоводородной кислоты H_2PtCl_6 , двузамещенного фосфорнокислого натрия Na_2HPO_2 и двузамещенного фосфорнокислого аммония на слой карбида циркония осаждается платина (рис. 2).

При термической обработке в вакууме, в сформированной системе $Me_{subst}(Mo, W)-ZrC-Pt$, в результате обменных реакций, происходит

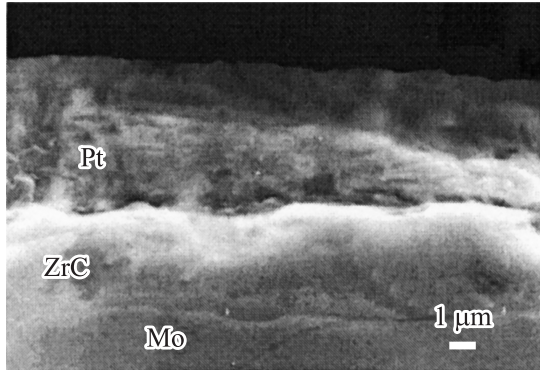
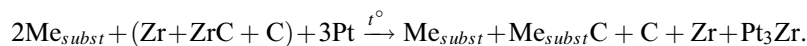


Рис. 2. Шлиф многослойного покрытия ZrC–Pt на молибденовой подложке.

химическое взаимодействие элементов с образованием интерметаллического соединения:



Образующиеся интерметаллические соединения имеют кристаллическую структуру, отличную от структур исходных металлов, с ярко выраженным индивидуальными свойствами. При этом следует особо подчеркнуть, что состав образуемых соединений не всегда подчиняется правилам валентности. В кристаллической решетке металлида Pt–Zr атомы металлов занимают строго определенные положения, создавая как бы несколько вставленных одна в другую подрешеток, в которых существует значительное количество незанятых узлов, обеспечивающих создание соединений с высокой валентностью.

Определение элементного состава образцов проводилось методом электронно-зондового микроанализа, основанного на сравнении характеристических рентгеновских спектров анализируемого образца и стандартов известного состава. В процессе работы использовался растровый электронный микроскоп JSM-35CF и рентгеновский микроанализатор энергодисперсионного типа Link 860.

В процессе исследований было выявлено, что в интервале температур 1200–2000 К металлы способны образовывать между собой не

одно, а несколько соединений, существующих лишь в определенных пределах состава и температуры. По данным термодинамического расчета в указанном интервале температур, в системе Mo–ZrC–Pt вероятно образование таких соединений, как Pt₁₁Zr₉ (тетрагональный тип решетки, с параметрами: $a = 10.297 \text{ \AA}$, $b = 6.888 \text{ \AA}$; интегральный коэффициент излучения $\varepsilon \approx 0.6$), Pt₃Zr₅ (гексагональный тип решетки, $a = 8.201 \text{ \AA}$, $b = 5.405 \text{ \AA}$; $\varepsilon \approx 0.4$), PtZr (орторомбический тип решетки, $a = 3.409 \text{ \AA}$, $c = 10.315 \text{ \AA}$, $b = 4.277 \text{ \AA}$; $\varepsilon \approx 0.6$) и Pt₃Zr (гексагональный тип решетки, $a = 5.638 \text{ \AA}$, $b = 9.244 \text{ \AA}$; $\varepsilon = 0.83$).

Общим свойством интерметаллических соединений является узкий температурный интервал их стабильности, связанный с высоким поляризующим действием платины и развивающимся при нагревании ее соединений дополнительным эффектом, приводящим к разрушению химических связей и восстановлению металлического состояния платины.

Разработанная технология получения антиэмиссионного покрытия была применена при изготовлении мощных генераторных ламп, в которых проблема снижения термотока сеток является центральной. При использовании перенапряженных режимов работы генераторной лампы и удельной мощности рассеивания на сеточных электродах до 20 W/cm² и более норма паразитной термоэлектронной эмиссии должна составлять не более 10⁻⁵ A/cm².

Рентгенофазовый анализ показал, что основной фазой в составе покрытия при температурах 1350–1470 K является интерметаллическое соединение Pt₃Zr, хотя в ряде случаев фиксируются не провзаимодействующие отдельные компоненты платины и карбида молибдена. Кроме того, высокая химическая активность покрытия определяет повышенные требования к рабочему вакууму, создаваемому в печи отжига, которое должно быть ниже 10⁻³ Pa. В противном случае неизбежно протекание поверхностных реакций взаимодействия с остаточными газами.

Шлиф и дифрактограмма покрытия Pt₃Zr с зарегистрированными линиями: (201) — 2.3622 (ASTM-2.3601); (004) — 2.3076 (ASTM-2.3061); (202) — 2.1616 (ASTM-2.1616); (203) — 1.9125 (ASTM-1.9120); (204) — 1.6786 (ASTM-1.6764); (205) — 1.4741 (ASTM-1.4719); (206) — 1.3026 (ASTM-1.3009), представлены на рис. 3.

Также было установлено, что разработанное покрытие помимо снижения термотока сеток активно связывает испаряющийся с катода лампы торий.

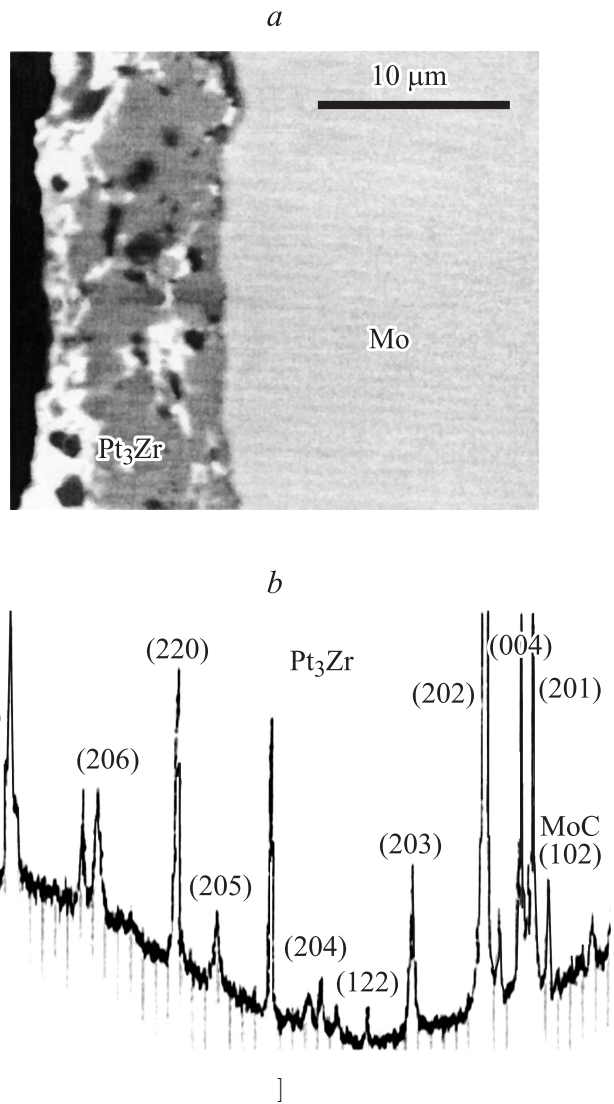


Рис. 3. Шлиф (а) и дифрактограмма (б) сеточного покрытия Pt_3Zr на молибденовой основе.

Письма в ЖТФ, 2009, том 35, вып. 13

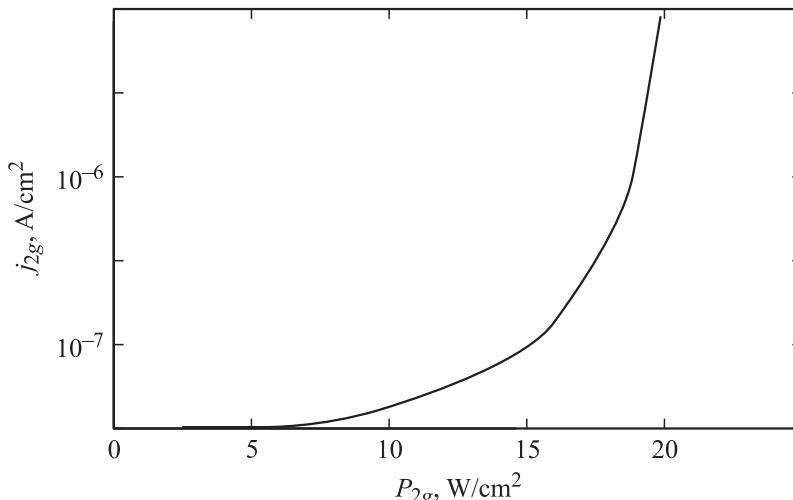


Рис. 4. Зависимость термоэлектронного тока от мощности, выделяющейся на экранирующей сетке.

Зависимость плотности термоэлектронного тока j_{2g} от мощности P_{2g} , выделяющейся на экранирующей сетке, представлена на рис. 4.

Термодинамический анализ показал, что из получаемых соединений лишь Pt_3Zr химически связывает торий во всем рабочем диапазоне температур сеточных электродов от 1000 до 2000 K, в то время как соединение Pt_3Zr_5 реагирует с торием при температуре 1500 K, что соответствует рассеиваемой мощности более 12 W/cm².

В результате проведенных экспериментов было установлено, что в диапазоне температур 1370–1470 K в системе Mo–ZrC–Pt образуется интерметаллид Pt_3Zr , химически связывающий торий в диапазоне температур от 1000 до 2000 K и обеспечивающий минимальный уровень термоэлектронной эмиссии, что обеспечивает устойчивую работу соединения в качестве антиэмиссионного покрытия на сеточных электродах мощных генераторных ламп.

Работа выполнена в рамках научной школы НШ-5521.2008.8 НШ/ЭПУ-251.

Список литературы

- [1] Сушкин А.Д. Вакуумная электроника: Физико-технические основы. М.: Лань, 2004. 464 с.
- [2] Царев Б.М. Расчет и конструирование электронных ламп. М.: Энергия, 1967. 672 с.
- [3] Дороднов А.М., Петров В.А. // ЖТФ. 1981. Т. 51. С. 504–524.
- [4] Быстров Ю.А., Ветров Н.З., Лисенков А.А. // Письма в ЖТФ. 2008. Т. 34. В. 17. С. 20–25.

Письма в ЖТФ, 2009, том 35, вып. 13